

GRUPO GENERAL

Determinaciones PLASMATICAS PREVIAS al tratamiento

	CR	ASAT	ALAT	GGT	BT	LDH	CK	AMIL	FA
16 D	0.4	44	74	8	0.3	1465	3732	1383	569
17 D									
18 D	0.8	25	69	6	0.1	890	1451	668	307
19 D	0.7	26	52	10	0.4	601	2060		419
20 D									
21 E	0.7	30	50	10	0.5	1056	2661	977	346
22 E	0.9	24	47	5	0	409	1573	1003	296
23 E	0.7	37	50	6	0	1028	2740	1065	504
24 E									
25 E									
26 F	0.9	46	48	6	0.1	550	2264	1169	501
27 F	0.9	34	38	13	0.0	1177	3117	1011	301
28 F	0.7	27	69	5	0.1	918	2708	1149	428
29 F									
30 F	1.1	27	34	12	0.2	771	2258	973	670

TABLA 10

GRUPO GENERAL

Determinaciones PLASMATICAS POSTERIORES al tratamiento

	CR	ASAT	ALAT	GGT	BT	LDH	CK	AMIL	FA
1 A	0.9	83	84	7	0.5	1405	12951	1088	545
2 A	1.0	51	75	6	0.3	323	2941		335
3 A	0.9	27	51	6	0.3	1530	5655		330
4 A	1.3	41	51	5	0.0	687		854	186
5 A									
6 B	1.6	53	70	3	0.0	1067	13385	1643	276
7 B	1.0	60	43	5	0.3	730	21559		415
8 B	0.9	29	33	4	0.2	245	6649	1100	324
9 B	1.2	37	47	6	0.0	327	3229	1138	329
10 B	0.9	40	58	12	0.1	778	1853	814	105
11 C	1.0	44	64	7	0.2	288	1557		375
12 C	1.1	53	66	11	0.2	378	1349		250
13 C	0.9	48	75	10	0.4	763	2174	1698	429
14 C	1.4	60	76	4	0.4	2045	4769	1744	335
15 C									

TABLA 11

GRUPO GENERAL

Determinaciones PLASMATICAS POSTERIORES al tratamiento

	CR	ASAT	ALAT	GGT	BT	LDH	CK	AMIL	FA
16 D	1.0	58	93	8	0.4	1257	3443	1723	519
17 D	1.0	36	77	6	0	440	1292	2025	427
18 D	0.9	60	65	4	0	938	5092	792	196
19 D	0.8	50	42	11	0	1052	2727	616	283
20 D									
21 E	1.2	44	62	7	0	782	2208	956	332
22 E	1.1	43	59	8	0	606	2028	994	447
23 E	0.9	39	28	15	0.1	936	3796	1356	454
24 E	1.3	31	113	5	0.2	277	1078		129
25 E	0.8	48	133	6	0.1	772	6681	1431	415
26 F	1.4	40	22	10	0.1	877	2261	1750	331
27 F	1.3	56	26	2	0.1	985	4610	1342	437
28 F	0.8	52	125	4	0.1		6777	1430	417
29 F									
30 F	1.0	51	56	5	0.6	1406	3543	1305	609

TABLA 12

GRUPO GENERAL

Determinaciones URINARIAS PREVIAS al tratamiento

	CR	GT	B2M	NAG	PR
1 A	140	10	<50	6.5	193
2 A	117	3	83	45.9	180
3 A	81	13	<50	6.8	132
4 A	105	20	<50	6.5	119
5 A					

6 B	143	7	<50	1.58	390
7 B	227	1	<50	65	148
8 B	103	12	<50	40	154
9 B	113	13	<50	8	255
10 B					

11 C	40	14	85	4	243
12 C	49	32	128	13	215
13 C	25	6	<50	3	38
14 C	143	7	<50	9	123
15 C	102	12	<50	4	85

TABLA 13

GRUPO GENERAL

Determinaciones URINARIAS PREVIAS al tratamiento

	CR	GT	B2M	NAG	PR
16 D	129	4	<50	5	224
17 D	27	2	<50	9	87
18 D	15	4	<200	6	24
19 D	41	0	<200	12	114
20 D					

21 E	39	5	<200	8	87
22 E	141	4	<50	14	88
23 E	58	3	<200	88	142
24 E	71	0	<50	21	90
25 E					

26 F	50	1	<50	4	85
27 F	134	7	<50	4	266
28 F	73	5	<200	9	125
29 F	124	0	<200	13	214
30 F	75	3	<50	7	134

TABLA 14

GRUPO GENERAL

Determinaciones URINARIAS POSTERIORES al tratamiento

	CR	GT	B2M	NAG	PR
1 A	176	3	<50	14	691
2 A	105	4	<50	28	220
3 A	107	8	60	17	279
4 A	196	53	<50	25	511
5 A					

6 B	155	8	98	9	498
7 B	225	122	<20		
8 B	27	7		5	
9 B	99	0	12	21	1755
10 B	41	1	<50	9	159

11 C	80	46	91		394
12 C	15	4	<50	18	
13 C	71	4	<50	3	112
14 C	57	2	<50	14	196
15 C	83	10	<50	16	

TABLA 15

GRUPO GENERAL

Determinaciones URINARIAS POSTERIORES al tratamiento

	CR	GT	B2M	NAG	PR
16 D	20	2	<50		
17 D	4	0	<50		
18 D	76	14	<50	5	225
19 D	112	1	<200	17	1242
20 D	52	3	53	6	577

21 E	26	6	<50	5	610
22 E	102	0	80	6	310
23 E	97	3	89	4	452
24 E	121	12	<50	4	327
25 E					

26 F	96	4	70	3	237
27 F	82	5	<200	2	247
28 F	116	7	<50	3	350
29 F	104	1	<50	9	321
30 F	95	2	<50	48	198

TABLA 16

GRUPO CONEJOS MONORRENOS

Determinaciones PREVIAS al tratamiento

a. HEMATOLOGICAS

	LEUC	HB	HTO	HTIES	PLAQ
M 1	7.66	118	41	5.94	420
M 2	10.97	117	39	5.42	305
M 3	12.80	118	40	5.35	583
M 4	24.72	95	33	5.35	628
M 5	7.03	140	39	4.07	225

b. PLASMATICAS

	CR	ASAT	ALAT	GGT	BT	LDH	CK	AMIL	FA
M 1	1.3	24	50	8	0.3	541	1197	1354	257
M 2	1.4	25	85	7	0.1	563	1456	1068	118
M 3	1.4	49	57	7	0	1357	2637	1513	86
M 4	1.1	25	45	5	0.1	455	1245	1394	247
M 5	1.5	33	65	2	0.1	684	1245	931	81

TABLA 17 a y b

GRUPO CONEJOS MONORRENOS

Determinaciones POSTERIORES al tratamiento

HEMATOLOGICAS

	LEUC	HB	HTO	HTIES	PLAQ
M1 I	11.20	115	36	5.44	375
M1 II	9.10	113	39	5.50	486
M1 III	7.13	124	35	5.01	454
M1 IV	7.97	121	38	5.74	465
M1 V	6.29	121	40	6.00	367

M2 I	17.69	118	37	5.45	340
M2 II	19.28	116	37	5.45	394
M2 III	15.09	116	39	5.23	238
M2 IV					
M2 V					

TABLA 18

GRUPO CONEJOS MONORRENOS

Determinaciones HEMATOLOGICAS POSTERIORES al tratamiento

	LEUC	HB	HTO	HTIES	PLAQ
M3 I	13.30				
M3 II					
M3 III	14.26	112	36	5.41	329
M3 IV	10.97	127	37	5.58	263
M3 V					

M4 I	29.73	112	34	5.64	847
M4 II	22.08	108	36	5.77	695
M4 III					
M4 IV	27.61	131	43	5.96	548
M4 V	34.68	114	35	6.04	941

M5 I	11.63	111	35	5.46	417
M5 II	8.72	97	33	4.97	327
M5 III	9.25	88	35	4.48	493
M5 IV	10.15	113	36	5.68	465
M5 V	6.48	111	37	5.92	572

TABLA 19

GRUPO MONORRENOS

Determinaciones PLASMATICAS POSTERIORES al tratamiento

	CR	ASAT	ALAT	GGT	BT	LDH	CK	AMIL	FA
M1 I	1.7	72	60	10	0.2	2485	24300	1296	243
M1 II	1.6	34	101	13	0.2	1042	2238	1371	231
M1III	1.4	35	62	10	0.3	1369	3099	1305	279
M1 IV	1.4	43	103	7	0.1	865	2191	1224	266
M1 V	1.2	36	56	4	0	1323	3700	1612	216

M2 I	1.5	79	127	7		2018	26470	1445	83
M2 II	1.4	34	132	11	0	777	9783	1569	82
M2III	1.6	26	101	5	0.1	653	2193	1336	124
M2 IV	1.2	31	67	1	0	900	1081	1174	128
M2 V	1.5	26	55	4	0	586	1617	1122	80

TABLA 20

GRUPO MONORRENOS

Determinaciones PLASMATICAS POSTERIORES al tratamiento

	CR	ASAT	ALAT	GGT	BT	LDH	CK	AMIL	FA
M3 I	1.6	69	92	9	0.3	1577	23180	1448	59
M3 II	1.5	41	91	8	0	817	10131	1788	63
M3III	1.1	51	61	5	0	1247	4062	1846	78
M3 IV	1.4	31	45	2	0.1	446	1097	1686	128
M3 V	1.4	46	29	0	0	954	1916	1519	65

M4 I	1.4	63	56	8	0.1	1562	17120	1364	249
M4 II	1.4	39	73	10	0	1116	14870	1475	203
M4III	0.1	22	69	2	0.1	608	1981	1346	151
M4 IV	1.4	17	39	7	0.3	550	1204	1488	133
M4 V	1.3	18	38	7	0.1	267	904	1602	101

M5 I	1.7	70	65	3	0.1	889	9375	954	84
M5 II	1.6	46	93	1	0.2	914	13550	1000	70
M5III	1.4	30	70	4	0	492	4546	968	39
M5 IV	1.4	23	44	5	0.4	907	1622	923	82
M5 V	1.8	22	49	5	0.1	387	1112	895	66

TABLA 21

GRUPO MONORRENOS

Determinaciones URINARIAS PREVIAS al tratamiento

	CR	GT	B2M	NAG	PR
M 1	103	17	119	5	65
M 2	67	19	76	3	71
M 3	64	10	120	5	169
M 4	114	13	133	10	221
M 5	56	20	90	7	140

TABLA 22

GRUPO CONEJOS MONORRENOS

Determinaciones URINARIAS POSTERIORES al tratamiento

	CR	GT	B2M	NAG	PR
M1 I	86	12	129	4	199
M1 II	101	14	123	7	338
M1III	89	6	117	7	140
M1 IV	61	1	123	7	149
M1 V	70	9	100	7	245

M2 I	110	26	109	17	200
M2 II	150	23	<50	5	2272
M2III	168	4	106	2	292
M2 IV	88	0	101	7	271
M2 V	70	8	91	8	240

TABLA 23

GRUPO MONORRENOS

Determinaciones URINARIAS POSTERIORES al tratamiento

	CR	GT	B2M	NAG	PR
M3 I	95	10	109	14	411
M3 II	78	12	130	5	65
M3III	32	2	94	4	121
M3 IV	88	1	106	5	73
M3 V	71	12	86	6	261

M4 I	32	0	109	11	6261
M4 II	77	2	129	7	631
M4III	39	7	103	8	246
M4 IV	73	10		3	340
M4 V	163	20	137	5	301

M5 I	42	2	87	8	193
M5 II	51	37	79	7	162
M5III	38	0	118	7	128
M5 IV	41	6	73	5	129
M5 V	78	12	95	6	227

TABLA 24

GRUPO CONTROL

PRIMERA determinación

a. HEMATOLOGICA

	LEUC	HB	HTO	HTIES	PLAQ
C 1	8.07	120	37	5.86	309
C 2	6.06	118	39	5.36	346
C 3	4.72	123	40	5.60	340
C 4	7.77	130	41	5.72	305
C 5	7.41	113	37	5.11	187
C 6	4.46	119	38	5.43	400

b. PLASMATICA

	CR	ASAT	ALAT	GGT	BT	LDH	CK	AMIL	FA
C 1	1.0	46	90	14	0.1	1066	2286	748	455
C 2	0.9	28	75	10	0.1	842	2412	744	465
C 3	0.9	28	80	10	0.1	939	3289	726	524
C 4	1.0	50	114	11	0.0	944	3320	795	536
C 5	0.8	24	85	5	0.0	889	2069	769	547
C 6	0.9	39	104	9	0.1	1120	3151	712	534

TABLA 25 a y b

GRUPO CONTROL

SEGUNDA determinación

a. HEMATOLOGICA

	LEUC	HB	HTO	HTIES	PLAQ
C 1	7.73	123	39	6.05	227
C 2	6.63	121	40	5.28	403
C 3	6.41	116	37	5.33	383
C 4	5.42	128	40	5.44	411
C 5	9.23	126	38	5.21	302
C 6	7.51	124	37	5.21	346

b. PLASMATICA

	CR	ASAT	ALAT	GGT	BT	LDH	CK	AMIL	FA
C 1	1.1	62	121	15	0.1	1139	3184	742	461
C 2	1.0	24	102	2	0.2	517	1947	836	327
C 3	0.9	25	96	6	0.2	679	2838	718	355
C 4	1.0	49	101	5	0.0	1237	3113	791	246
C 5	1.2	27	80	5	0.1	694	2167	1053	299
C 6	1.0	33	91	7	0.1	1023	2804	927	285

TABLA 26 a y b

GRUPO CONTROL

a. PRIMERA determinación URINARIA

	CR	GT	B2M	NAG	PR
C 1	222	39	<50	16	257
C 2	134	5	<50	16	228
C 3	150	5	<50	12	328
C 4	183	19	<50	13	399
C 5	257	19	<200	2	239
C 6	133	11	<50	14	482

b. SEGUNDA determinación URINARIA

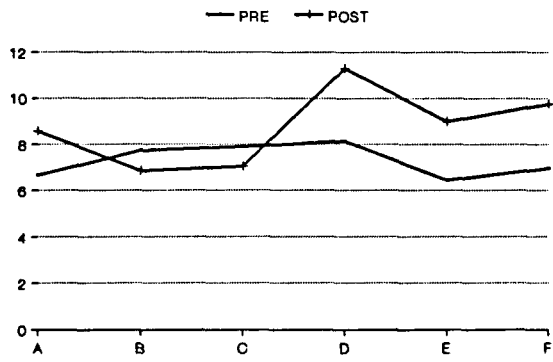
	CR	GT	B2M	NAG	PR
C 1	131	8	125	15	374
C 2	29	7	<50	13	99
C 3	164	5	92	18	179
C 4	166	0	<50	19	232
C 5	107	0	<50	5	396
C 6	143	7	<50	9	284

TABLA 27 a y b

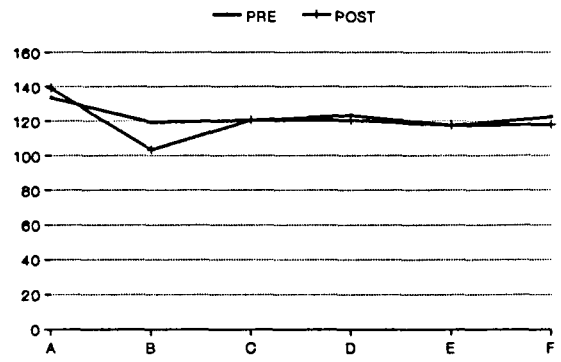
Para una primera valoración de los datos obtenidos, se comparan, para cada parámetro estudiado, las medias de las determinaciones previas y posteriores.

Los resultados se expresan en forma de gráficos.

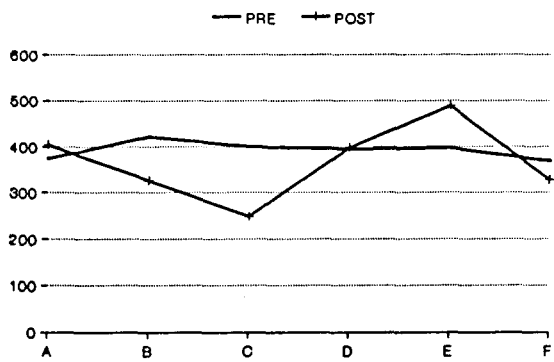
LEUCOCITOS (*1000)



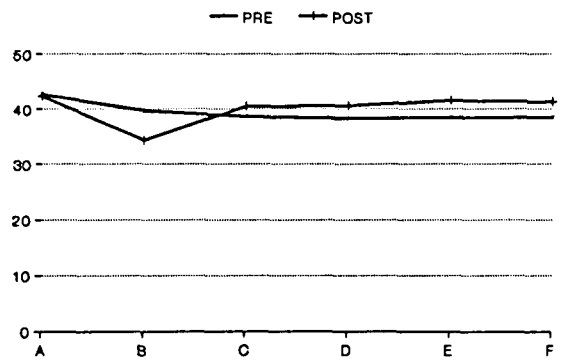
HEMOGLOBINA



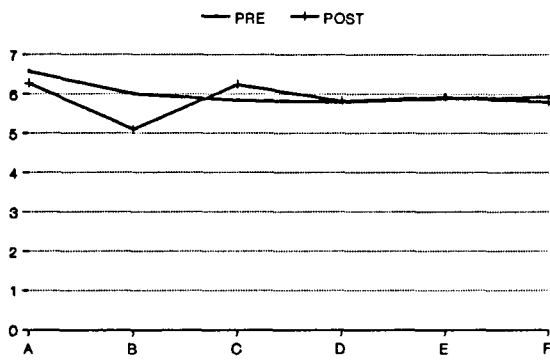
PLAQUETAS



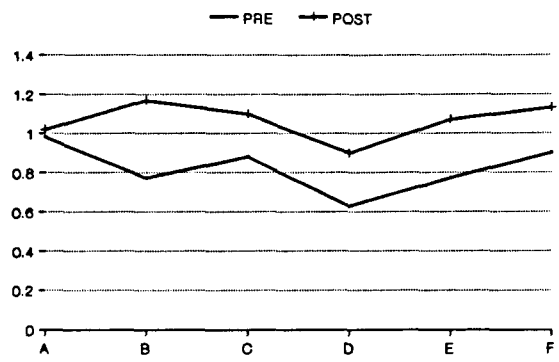
HEMATOCRITO



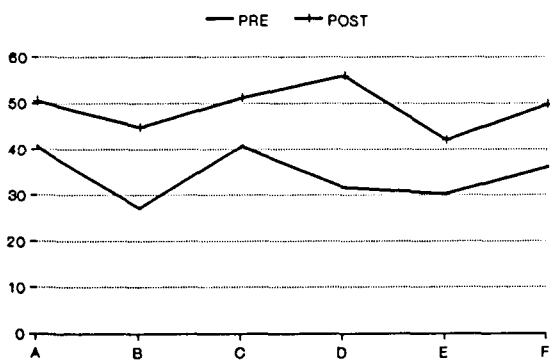
HEMATIES



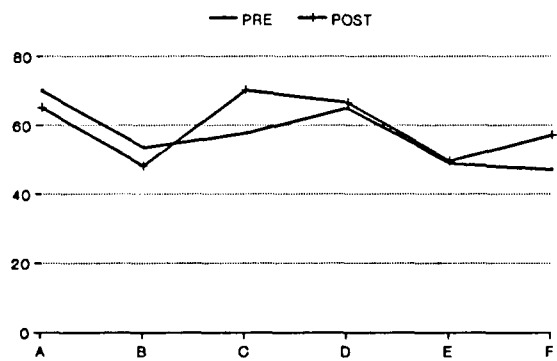
CREATININA



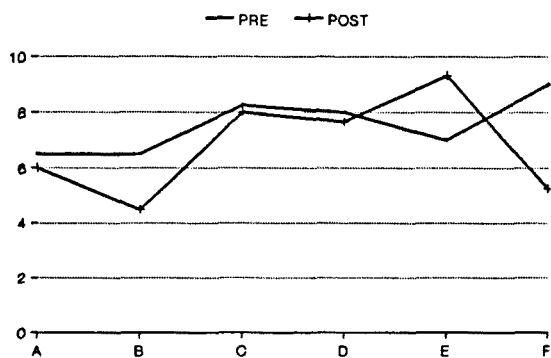
ASAT



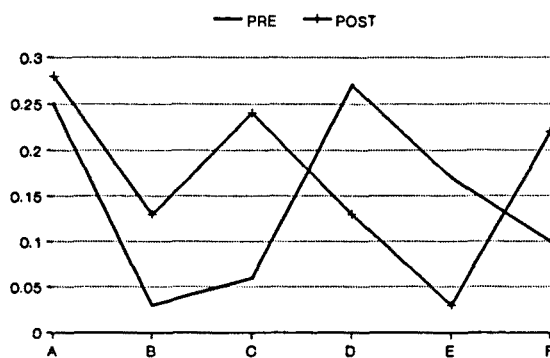
ALAT



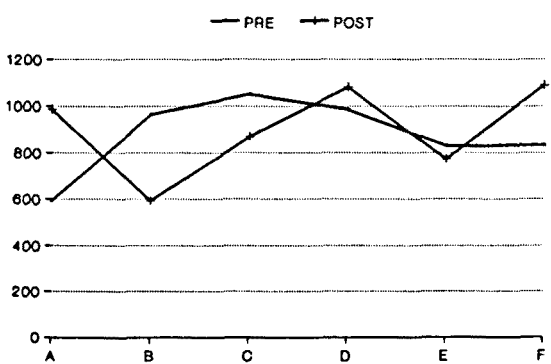
GGT



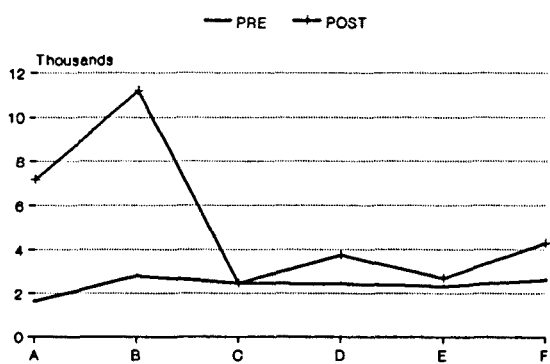
B.Tot.



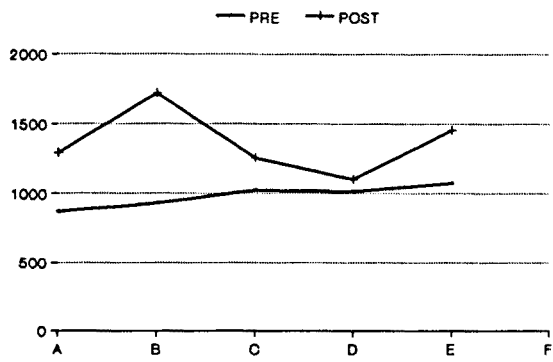
LDH



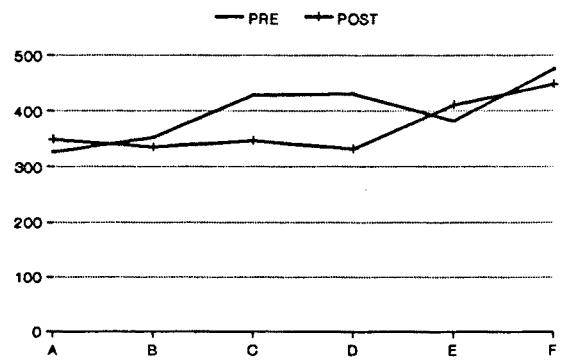
CPK



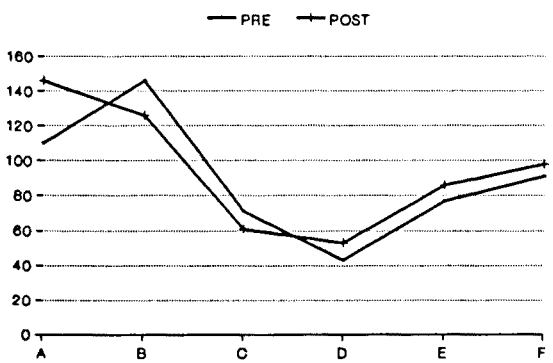
AMILASAS



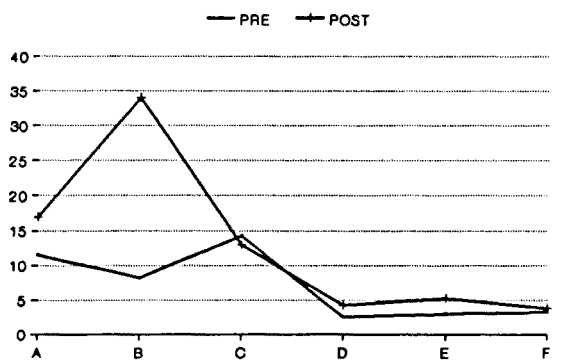
F. ALCALINA



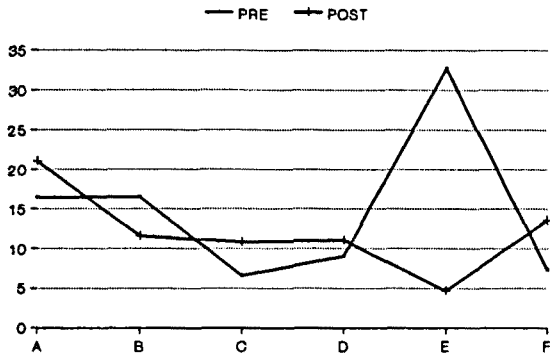
CREAT/ORINA



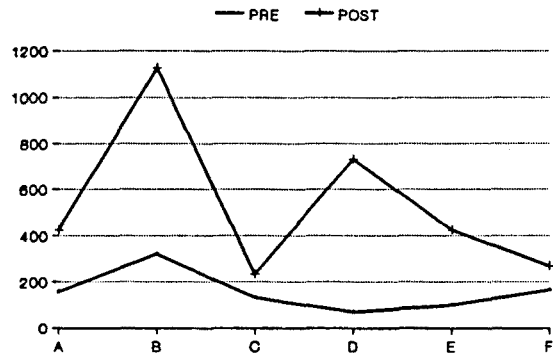
GGT/ORINA



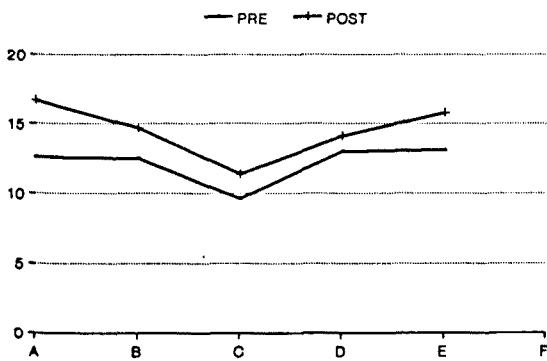
NAG/ORINA



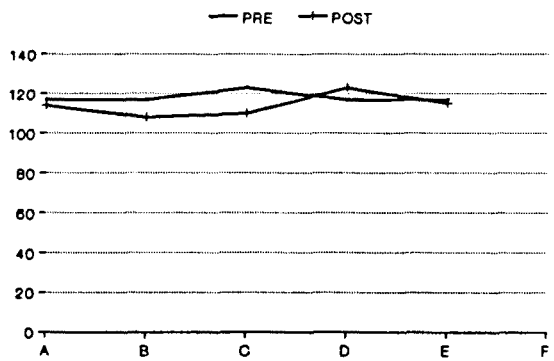
PROT/ORINA



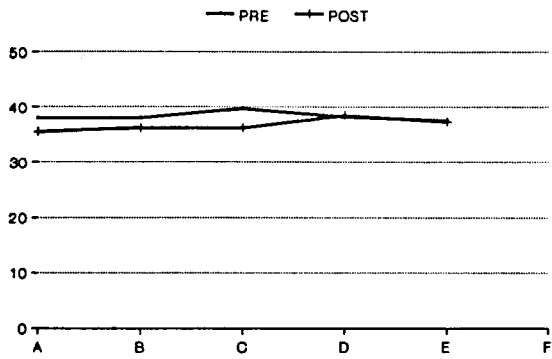
LEUCOS/MOMORENOS



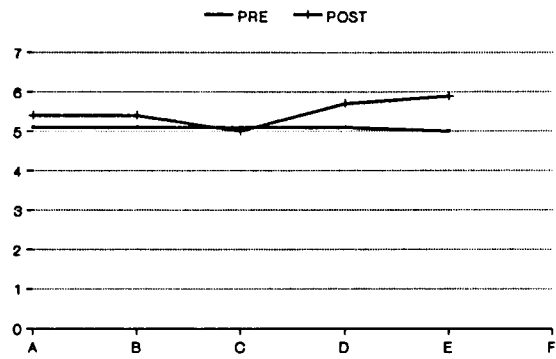
HEMOGLOB/MONORRENOS



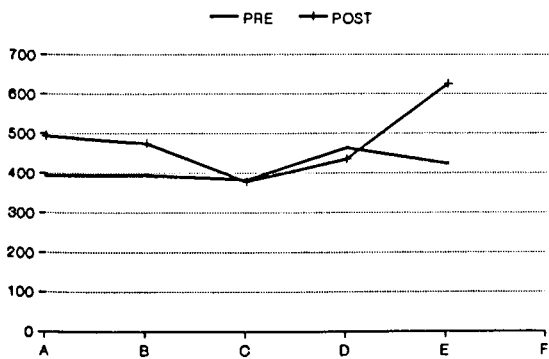
HEMATOCRITO/MONORRENOS



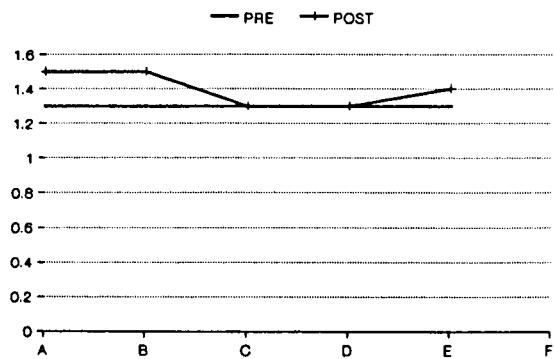
HEMATIES/MONORRENOS



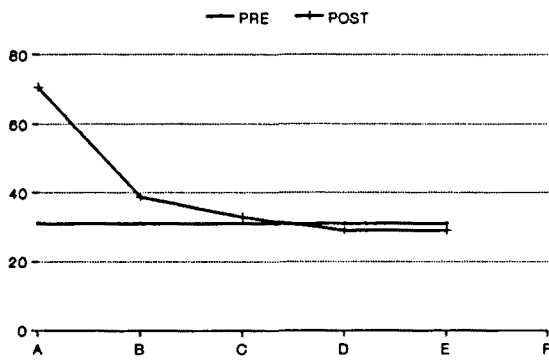
PLAQUETAS/MONORRENOS



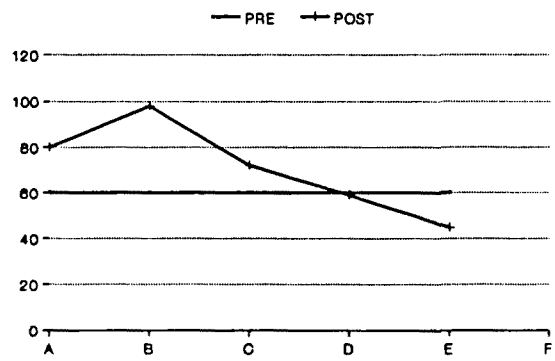
CREAT/MONORRENOS



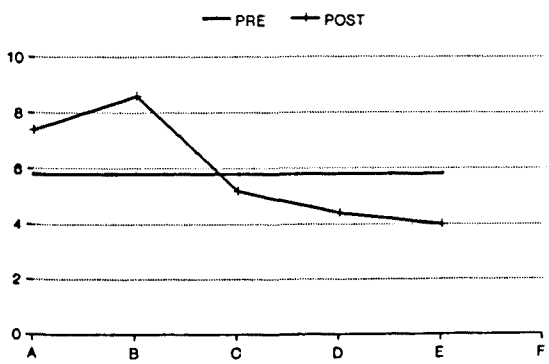
ASAT/MONORRENOS



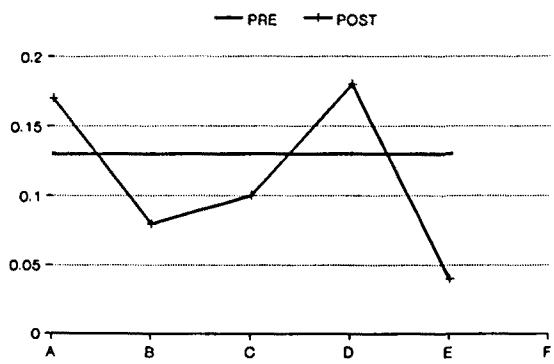
ALAT/MONORRENOS



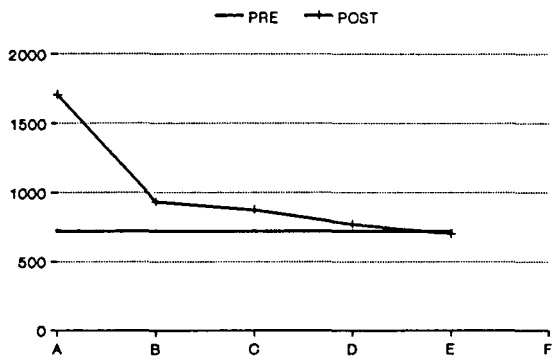
GGT/MONORRENOS



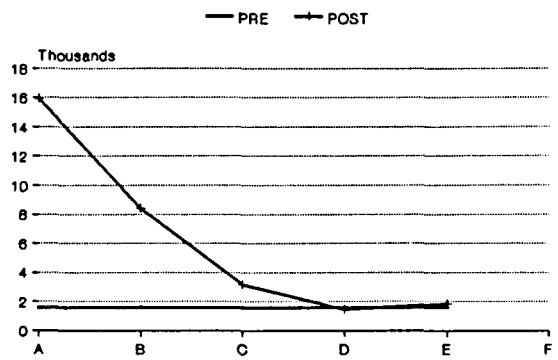
Bil. Tot/MONORRENOS



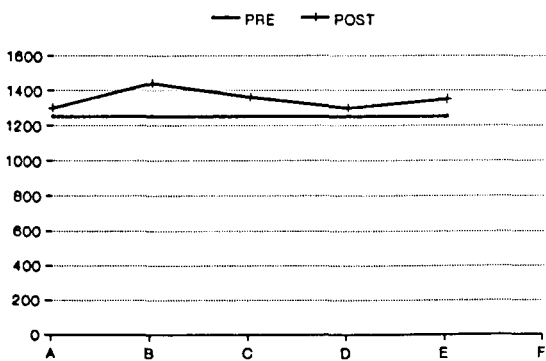
LDH/MONORRENOS



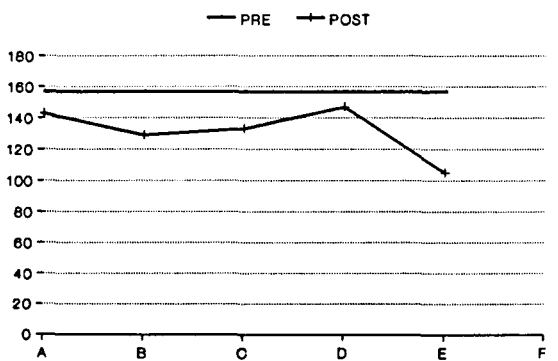
CPK/MONORRENOS



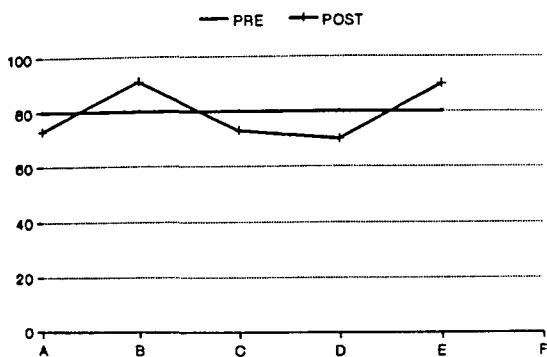
AMILASA/MONORRENOS



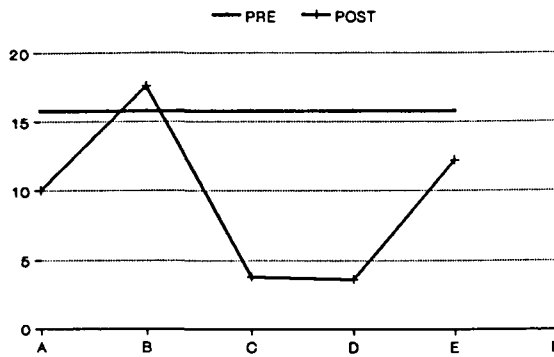
F.ALICALINA/MONORRENOS



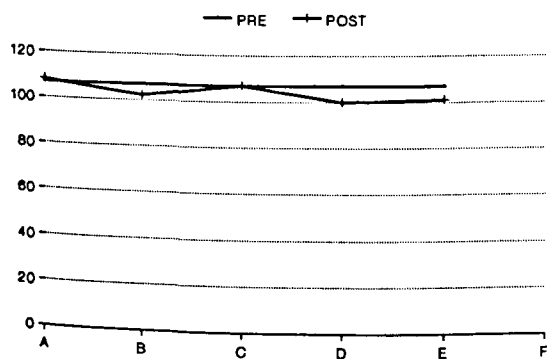
CR/ORINA/MONORRENOS



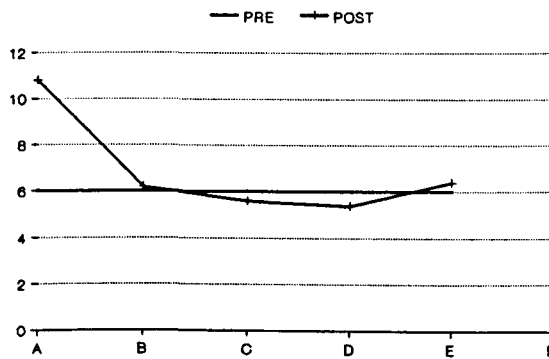
GGT/ORINA/MONORRENOS



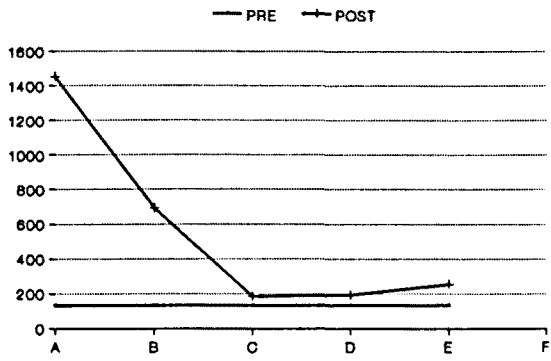
B2M/ORINA/MONORRENOS



NAG/ORINA/MONORRENOS



PROT/ORINA/MONORRENOS



Con el propósito de determinar si las diferencias obtenidas tienen significación estadística, hemos utilizado el TEST DE WILCOXON, prueba válida para el estudio de datos apareados en poblaciones que no se ajustan a la ley normal.

Cada par de datos está constituido por las cifras obtenidas antes y después del tratamiento.

Con el fin de aplicar el TEST DE WILCOXON a grupos con un tamaño idóneo, hemos reunido los grupos experimentales A, B y C en uno sólo al que denominamos "PRECOCES", comprendiendo los conejos cuyas determinaciones posteriores se realizaron dentro de las 72 horas posteriores al tratamiento.

Igualmente con los grupos D, E y F, denominándolo "TARDIOS", reuniendo las determinaciones posteriores realizadas entre los días 14 y 31.

Los resultados obtenidos son:

LEUCOCITOS (Precoces)

Número de diferencias no nulas 10
T. de Wilcoxon 23
NO SIGNIFICACION ESTADISTICA N.S.

LEUCOCITOS (Tardíos)

Número de diferencias no nulas 11
T. de Wilcoxon 23
GRADO DE SIGNIF. ESTAD. (S.E.) 0.05

HEMOGLOBINA (Precoces)

Número de diferencias no nulas 10
T.de W. 26
S.E. N.S.

HEMOGLOBINA (Tardíos)

Número de diferencias no nulas 11
T. de W. 32
S.E. N.S.

HEMATOCRITO (Precoces)

Número de diferencias no nulas 11
T. de W. 32
S.E. 0.10

HEMATIES (Precoces)

Número de diferencias no nulas	10
T. de W.	23
S.E.	N.S.

HEMATIES (Tardíos)

Número de diferencias no nulas	11
T. de W.	33
S.E.	N.S.

PLAQUETAS (Precoces)

Número de diferencias no nulas	10
T. de W.	13
S.E.	N.S.

CREATININA (Precoces)

Número de diferencias no nulas	9
T. de W.	4
S.E.	0.05

CREATININA (Tardíos)

Número de diferencias no nulas	10
T. de W.	2.5
S.E.	0.01

ASAT (Precoces)

Número de diferencias no nulas	12
T. de W.	15
S.E.	0.10

ASAT (Tardíos)

Número de diferencias no nulas	10
T. de W.	2
S.E.	0.01

ALAT (Precoces)

Número de diferencias no nulas	12
T. de W.	35
S.E.	N.S.

ALAT (Tardíos)

Número de diferencias no nulas	10
T. de W.	23.5
S.E.	N.S.

GGT (Precoces)

Número de diferencias no nulas	8
T. de W.	9
S.E.	N.S.

GGT (Tardías)

Número de diferencias no nulas 9
T. de W. 20
S.E. N.S.

BIL. TOTAL (Precoces)

Número de diferencias no nulas 8
T. de W. 4
S.E. 0.10

BIL. TOTAL (Tardías)

Número de diferencias no nulas 7
T. de W. 13
S.E. N.S.

LDH (Precoces)

Número de diferencias no nulas 12
T. de W. 37
S.E. N.S.

LDH (Tardías)

Número de diferencias no nulas 9
T. de W. 16
S.E. N.S.

CPK (Precoces)

Número de diferencias no nulas 11
T. de W. 5
S.E. 0.01

CPK (Tardías)

Número de diferencias no nulas 10
T. de W. 6
S.E. 0.05

AMILASAS (Precoces)

Número de diferencias no nulas 6
T. de W. 0
S.E. 0.05

AMILASAS (Tardías)

Número de diferencias no nulas 9
T. de W. 3
S.E. 0.02

FOSF. ALCALINAS (Precoces)

Número de diferencias no nulas 12
T. de W. 19
S.E. N.S.

FOSF. ALCALINAS (Tardías)

Número de diferencias no nulas 10
T. de W. 16.5
S.E. N.S.

CR. ORINA (Precoces)

Número de diferencias no nulas 13
T. de W. 42.5
S.E. N.S.

CR. ORINA (Tardías)

Número de diferencias no nulas 13
T. de W. 36
S.E. N.S.

GGT ORINA (Precoces)

Número de diferencias no nulas 13
T. de W. 39
S.E. N.S.

GGT ORINA (Tardías)

Número de diferencias no nulas 12
T. de W. 32
S.E. N.S.

NAG ORINA (Precoces)

Número de diferencias no nulas 11
T. de W. 21
S.E. N.S.

NAG ORINA (Tardías)

Número de diferencias no nulas 11
T. de W. 16
S.E. N.S.

PROTEINURIA (Precoces)

Número de diferencias no nulas 9
T. de W. 0
S.E. 0.005

PROTEINURIA (Tardías)

Número de diferencias no nulas 11
T. de W. 1
S.E. 0.005

VI. 3. ESTUDIO HISTOLOGICO

Se describen los hallazgos observados en las fases AGUDA (hasta 72 h.), INTERMEDIA (14 días) y TARDIA (21 -31 días).

FASE AGUDA

El hallazgo más frecuente y llamativo ha sido la presencia de fenómenos hemorrágicos de gran expresividad y tamaño.

Su localización preferente ha sido la subcapsular (Fig. 34) y en área córticomedular aunque han sido igualmente observados en situación intraparenquimatosa (Fig. 35) y en área pélvica (Fig. 36).

Llama la atención su distribución preferentemente radial y su apariencia disecante lo que probablemente explica las interconexiones entre distintas localizaciones (Fig. 37).

Además de los grandes focos hemorrágicos han sido

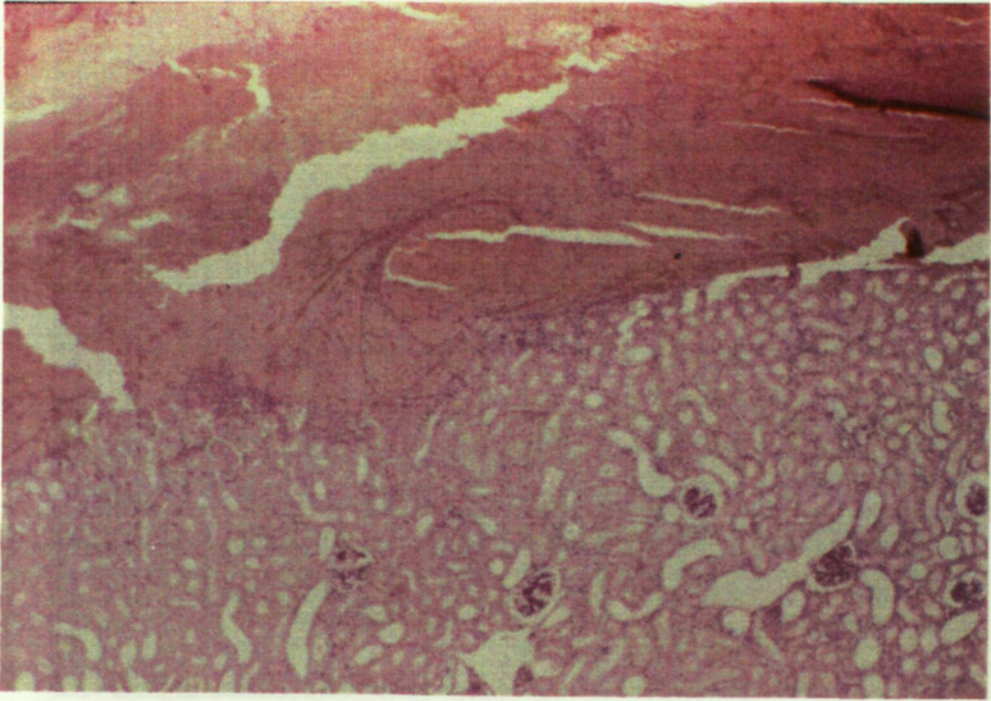


Fig. 34. Hematoma subcapsular. H. E. x 40. Obsérvese su
Conejo sacrificado a las 24 horas. n tubular. TRI x 40
Conejo sacrificado a las 24 horas.

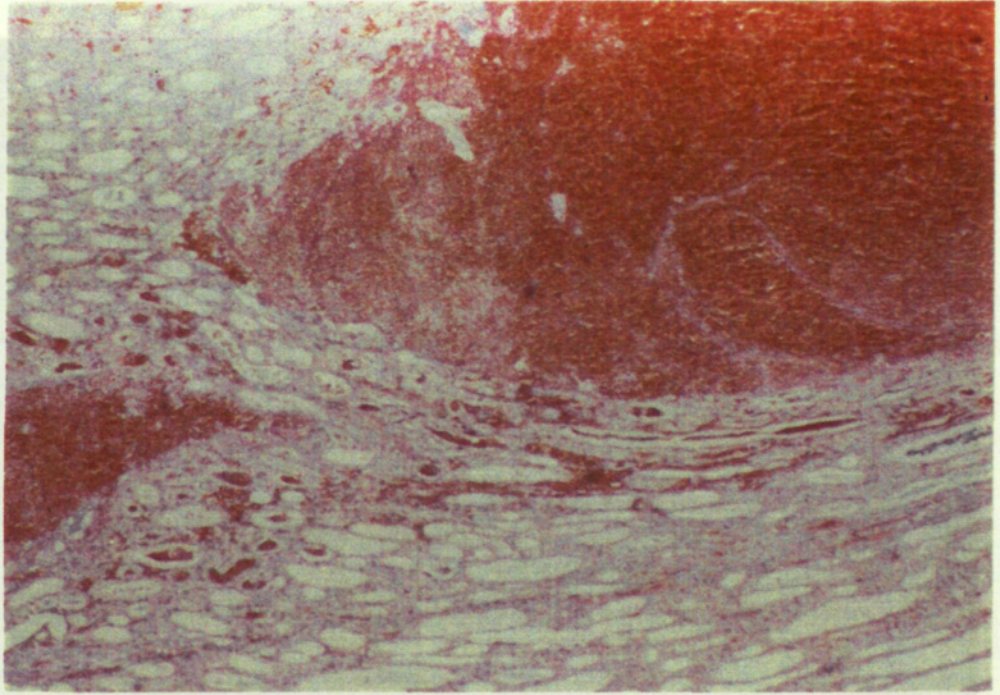


Fig. 35. Hemorragia intraparenquimatosa. Obsérvese su tendencia disecante y la compresión tubular. TRI x 40 Conejo sacrificado a las 24 horas.

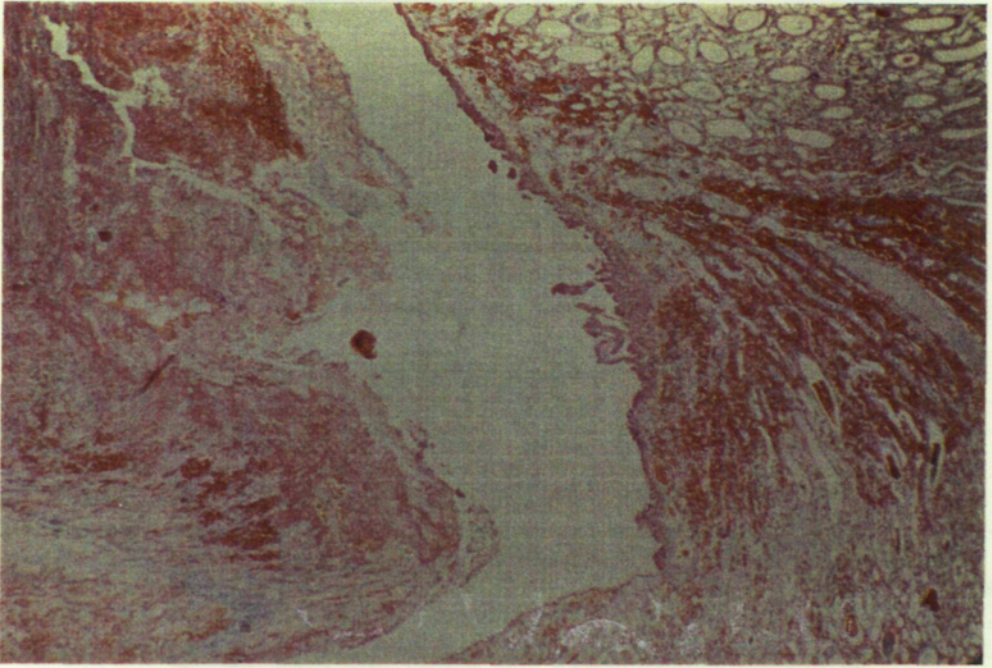


Fig. 36. Hemorragia en área pélvica. H.E. x 40
Conejo sacrificado a las 72 horas. *aparenquimatosa. TRI*
x 40.
Conejo sacrificado a las 72 horas.

observados en el tejido conectivo (Fig. 38). En algunos casos se han observado reacciones inflamatorias y compresión de los tubulillos.

Aunque en algunos casos se han observado fenómenos hemorrágicos.

1. Rotura de los vasos sanguíneos (Fig. 40) y presencia de hemorragias en áreas corticales.

2. Disgregación de los glóbulos rojos.
3. Fenómeno de "células en anillo" en células glomerulares, distinguibles por su apariencia marcadamente eosinófila, la homogenización de su citoplasma y la desestructuración y fragmentación nuclear (Fig. 43).

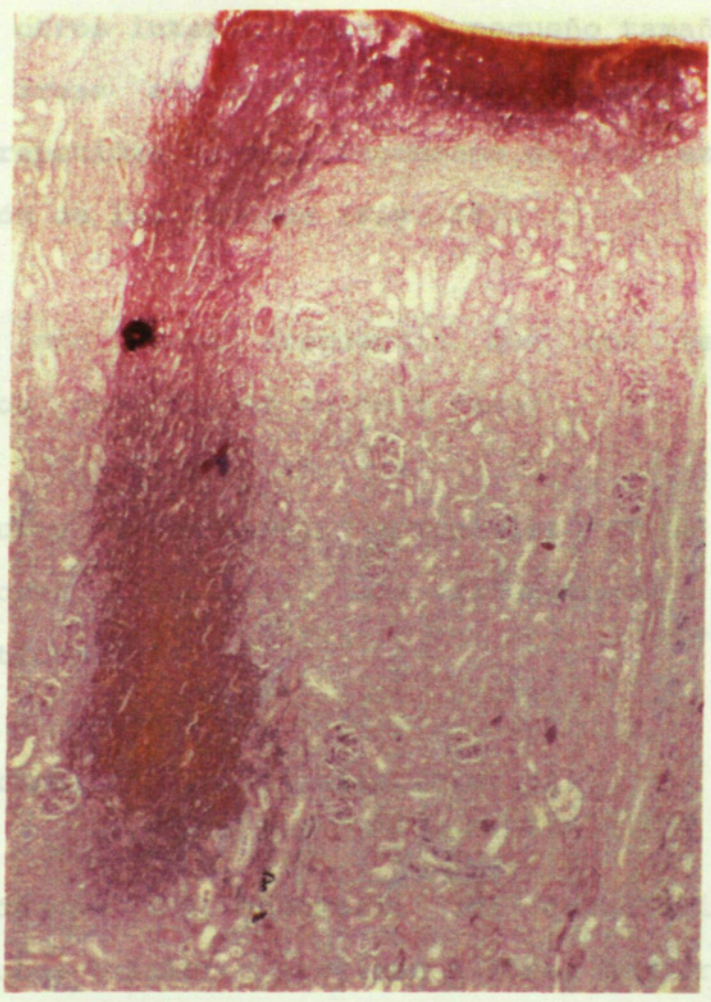


Fig. 37. Hematoma lineal radial con continuidad entre la colección subcapsular y la intraparenquimatosas. TRI x 40. Presencia de polinucleares. Conejo sacrificado a las 72 horas.

5. Tubulillos ocupados por cilindros hemáticos e hialinos (Fig. 44).

observados otros intersticiales de pequeño tamaño (Fig. 38). En áreas adyacentes a estos focos, se han observado repetidas veces, fenómenos de desplazamiento y compresión de los túbulos (Fig. 39).

Aunque con menos frecuencia que los fenómenos hemorrágicos, encontramos en esta fase:

1. Roturas vasculares, arteriales (Fig. 40) y venosas (Fig. 41), más frecuentemente en área corticomedular.
2. Disrupciones uroteliales (Fig. 42).
3. Fenómenos de "necrosis de coagulación" en células tubulares próximas a focos hemorrágicos, distinguibles por su apariencia marcadamente eosinófila, la homogenización de su citoplasma y la desestructuración y fragmentación nuclear (Fig. 43).
4. Presencia de polimorfonucleares.
5. Túbulos ocupados por cilindros hemáticos e hialinos (Fig. 44).

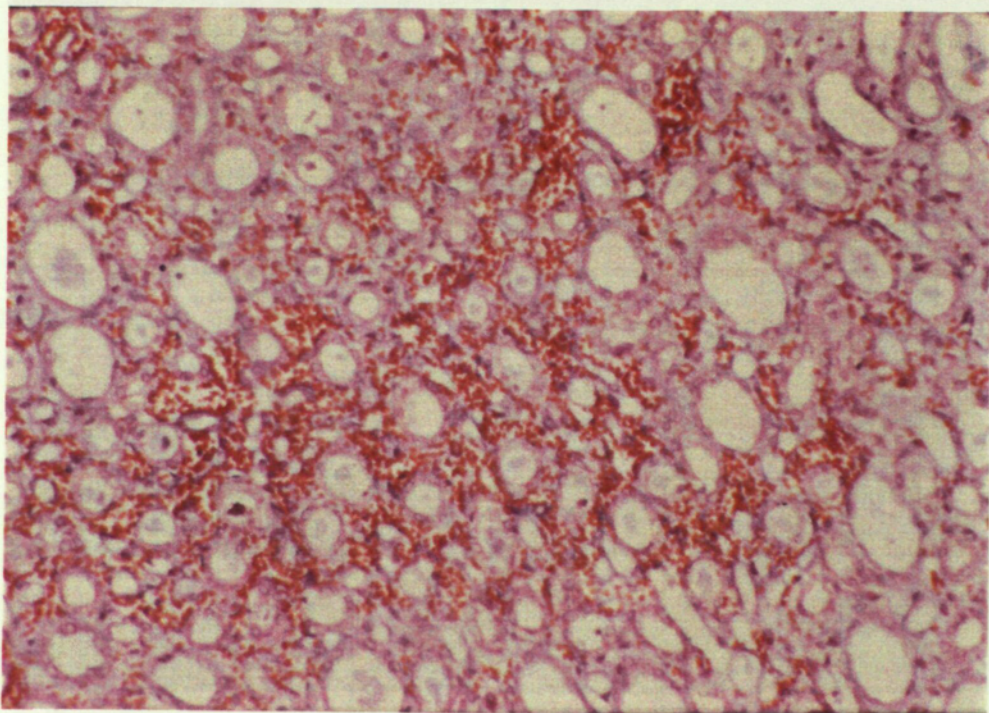


Fig. 38. Hemorragia intersticial. TRI x 125. Conejo sacrificado a las 72 horas. Obsérvese la abundancia de fibrina. (*) H.E. x 125.

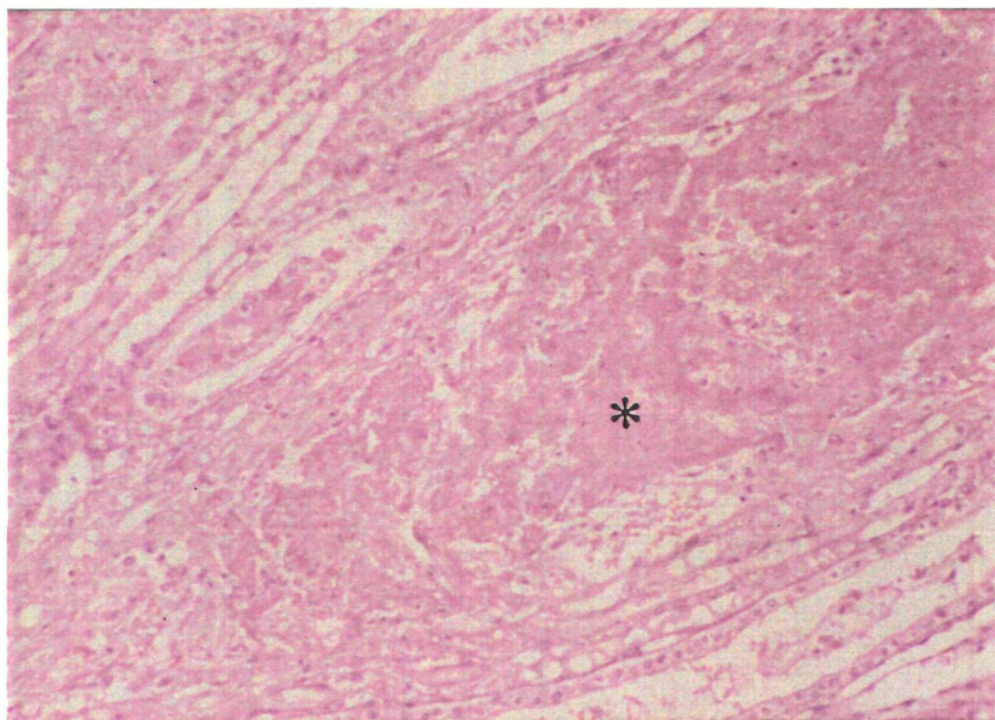


Fig. 39. Fenómeno de compresión y disección en área hemorrágica iniciando su fase organizativa. Obsérvese la abundancia de fibrina. (*). H.E. x 125.

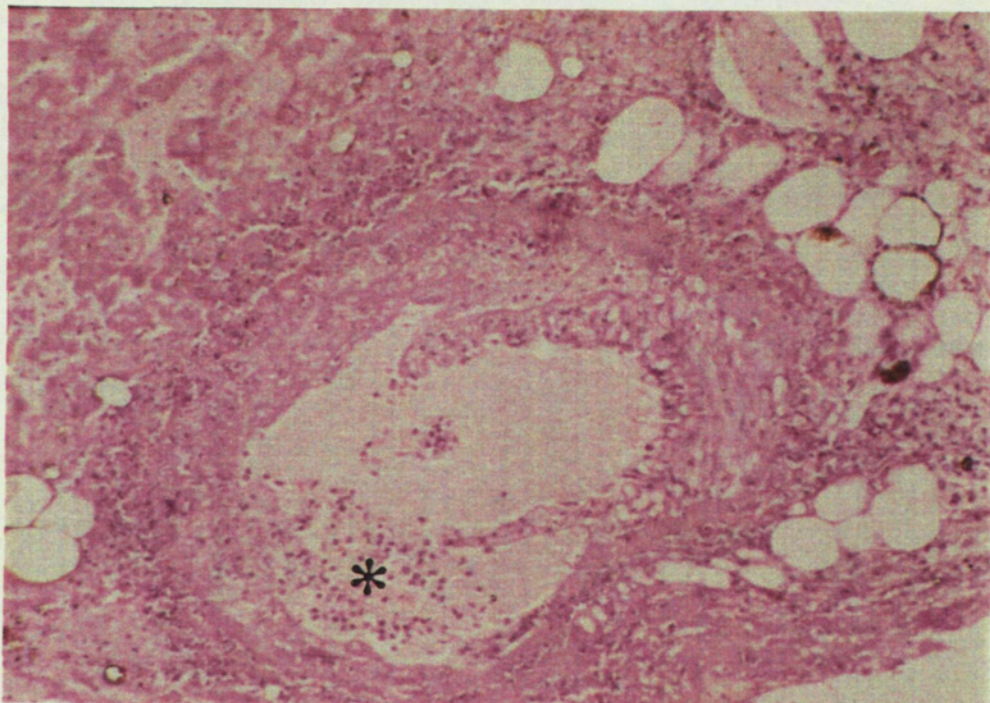


Fig. 40. Rotura arterial. Obsérvese la zona de necrosis con polimorfonucleares y material fibrinoso (*) sustituyendo a la pared muscular en la zona lesional. TRI. x 125.

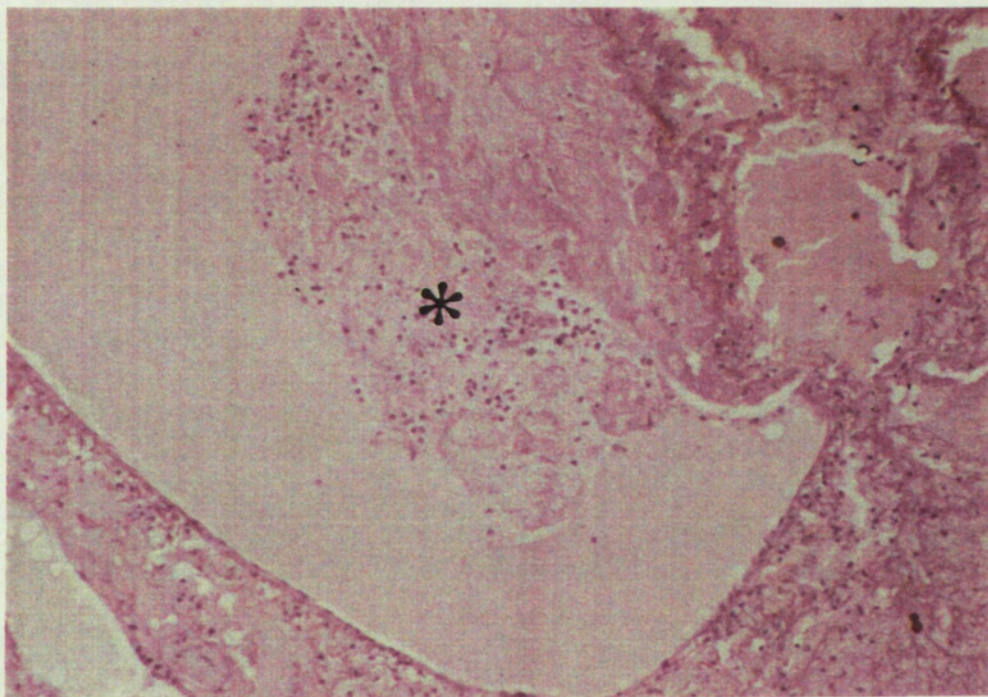


Fig. 41. Rotura venosa. Obsérvese la disrupción de su pared y el acúmulo de exudado fibrinoso y material trombótico (*). TRI x 125.

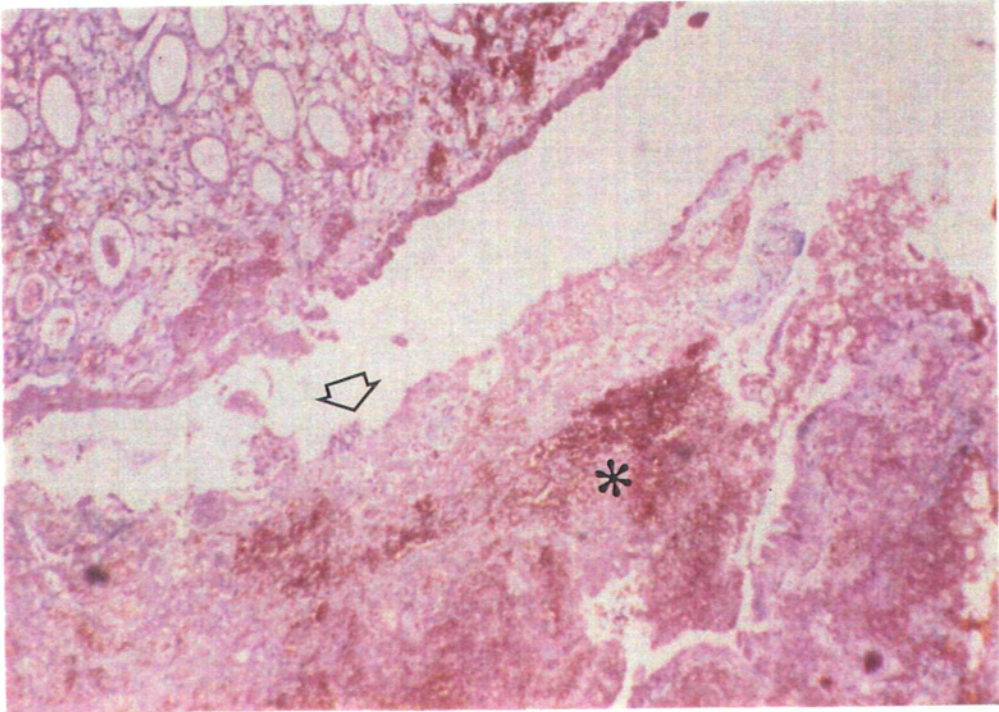


Fig. 42. Disrupción urotelial (↙). Obsérvense los fenómenos hemorrágicos colindantes (*). TRI x 40.

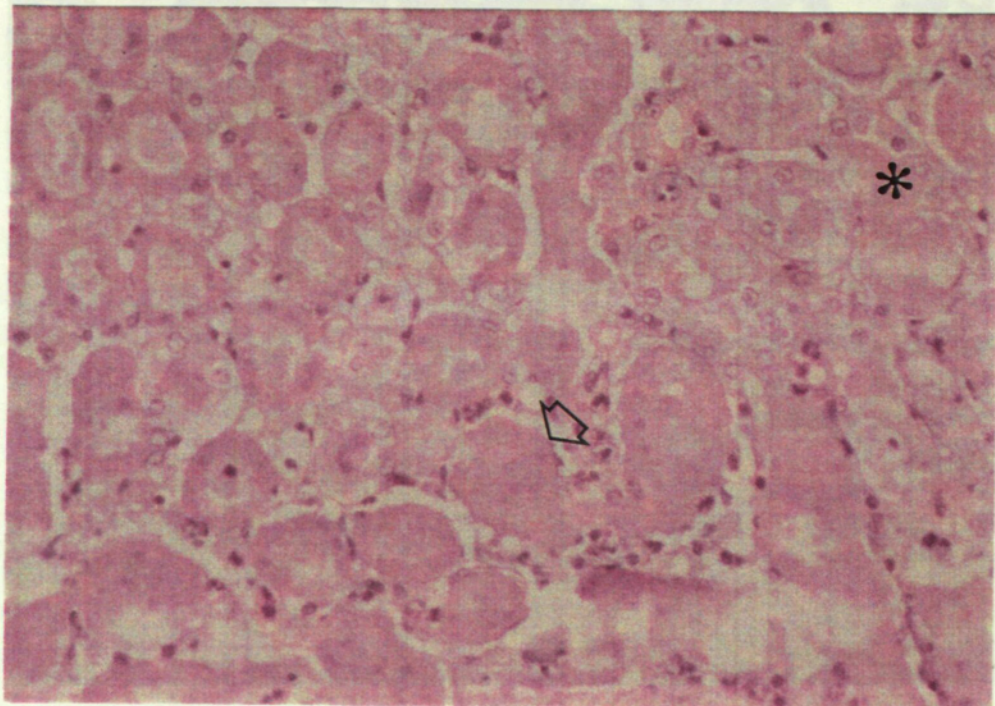
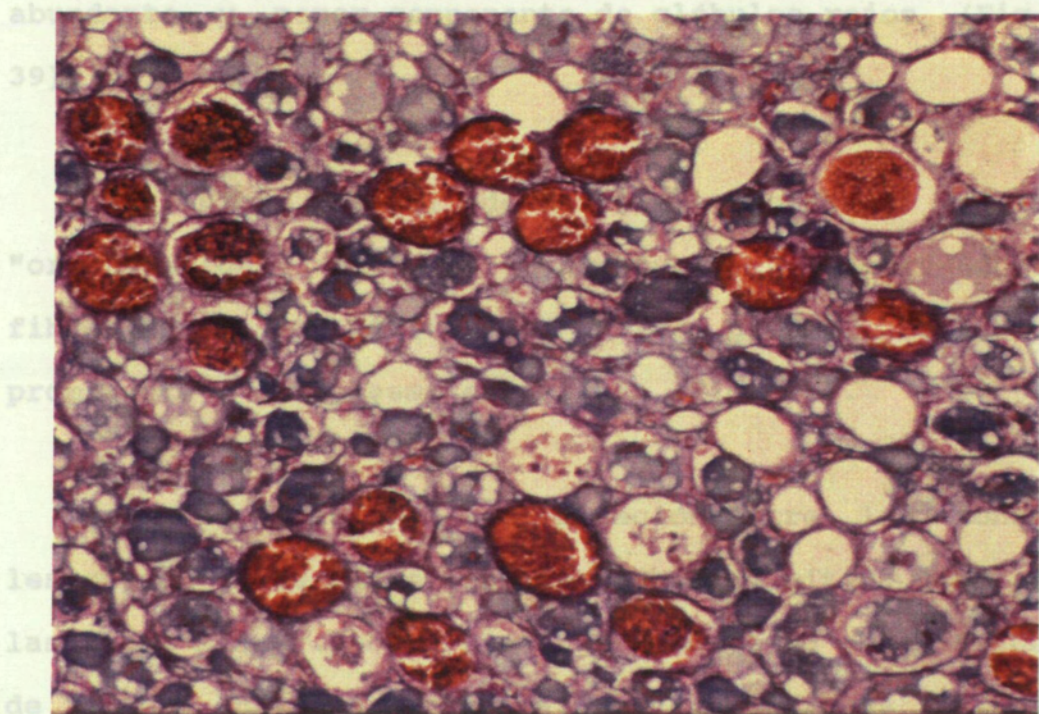


Fig. 43. "Necrosis Coagulativa" de los túbulos (↙). Obsérvese la homogenización del citoplasma, su apariencia más eosinófila y la sustitución de los núcleos por restos nucleares. H.E. x 250. Zona normal (*).

FASE INTERMEDIA

En ella se observan áreas hemorrágicas de menor tamaño que en la fase aguda, con exudado fibrinoso



periferia (Fig. 46).

Es observable ya la presencia de fibrosis intersticial laxa (se mantienen los túbulos pero están

Fig. 44. Cilindros hemáticos e hialinos en áreas próximas a la zona lesional. Fase aguda. TRI x 125.

Siguen apareciendo infiltrados polimorfonucleares.

No han sido observadas disrupciones uroteliales.

FASE INTERMEDIA

En ella se observan áreas hemorrágicas de menor tamaño que en la fase aguda, con exudado fibrinoso abundante y menor componente de glóbulos rojos (Fig. 39).

Se inicia ya el depósito de colágeno y la "organización" de los hematomas, observándose fibroblastos muy activos con núcleo grande, nucleolo prominente y citoplasma estrellado (Fig. 45).

En esta fase, la delimitación entre las zonas lesionadas y las sanas resulta mucho más nítida que en las fases más precoces, siendo frecuente la observación de focos en fase organizativa con fibrosis en su periferia (Fig. 46).

Es observable ya la presencia de fibrosis intersticial laxa (se mantienen los túbulos pero están separados por tejido conectivo laxo) (Fig. 46).

Siguen apareciendo infiltrados polimorfonucleares.

No han sido observadas disrupciones uroteliales.

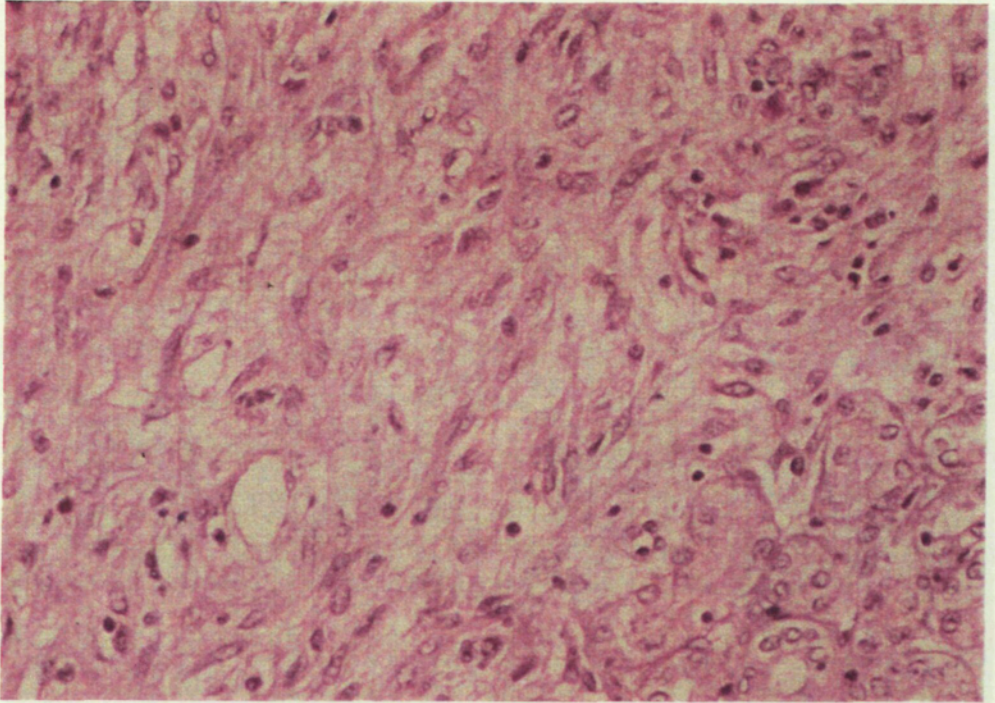


Fig. 45. Zona de intensa actividad fibroblástica. Corresponde a la fase intermedia y en ella se inicia ya el depósito de colágeno. H.E. x 250

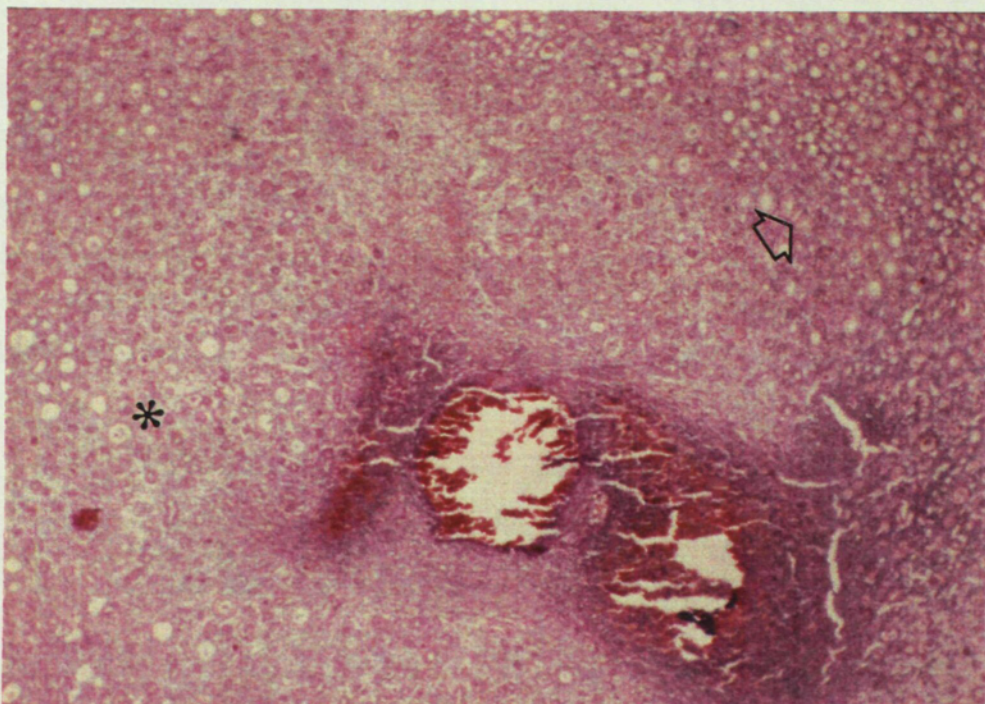


Fig. 46. Fase intermedia. Area reducida de hemorragia con zonas de fobrosis intersticial laxa a su alrededor (*), perfectamente diferenciadas del tejido normal (◊). TRI x 40.

FASE TARDIA

Caracterizada por la presencia de áreas fibróticas focales observadas frecuentemente con una distribución radial (perpendicular a la cápsula). (Fig. 47).

Estas zonas son de pequeño tamaño y su localización más frecuente es en área córticomedular. En ellas encontramos:

- Importante fibrosis con presencia de buen número de fibroblastos.
- Atrofia tubular objetivable por la presencia de células tubulares aplanadas y dilatación de la luz tubular (Fig. 48).
- Presencia de algunas células inflamatorias (linfocitos e histiocitos), en ocasiones intraepiteliales

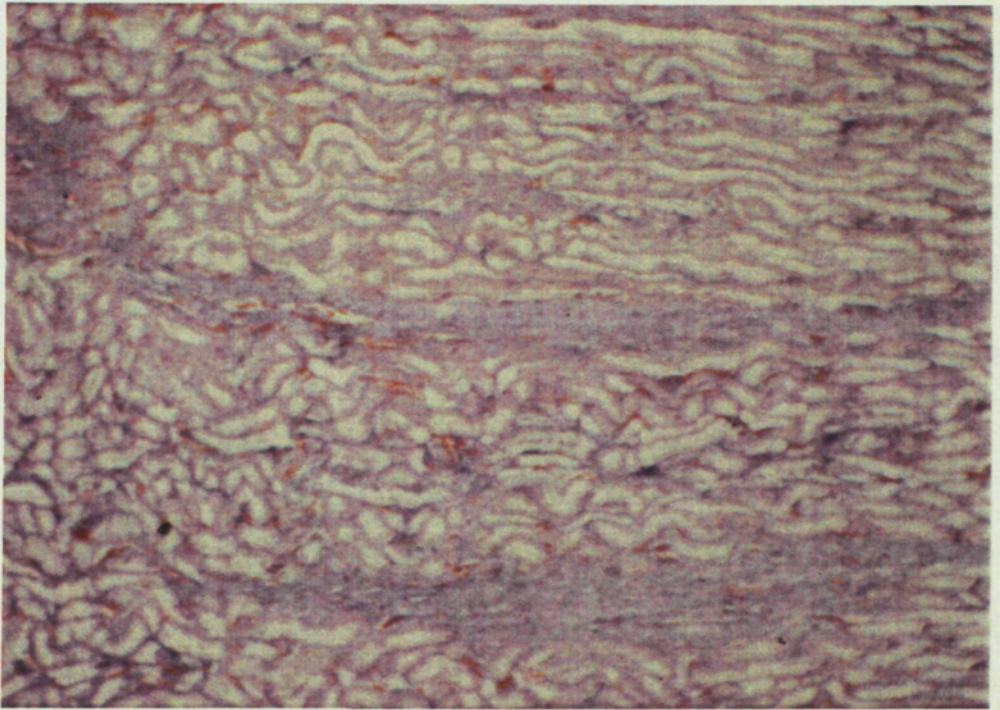


Fig. 47. Fase crónica. Areas lineales cicatriciales de de distribución radial (perpendiculares a la cápsula) TRI x 40.
Conejo monorreno sacrificado a los 31 días.

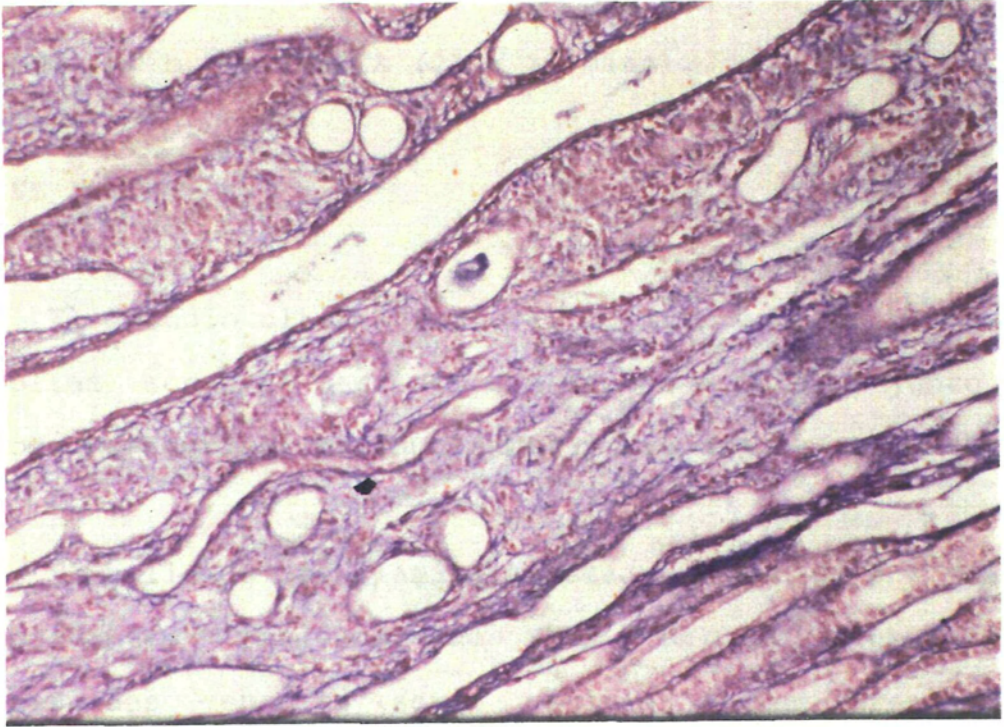


Fig. 48. Fase crónica. Atrofia tubular con células tubulares aplanadas y dilatación de la luz tubular. TRI x 100.
Conejo monorreno sacrificado a los 31 días.